

خوارزمية التنبؤ بمعدلات التغير الموسمية والدورية مع تطبيق عملي بالحوادث

المروءية في العراق

نهلة حافظ جواد السعدي

كلية الهندسة / الجامعة المستنصرية

nahlahafidh@yahoo.com

الخلاصة:-

يهدف البحث الى التحليل الزمني لمؤشر التغيرات (الموسمية، والدورية) ووفقاً للإجراءات المقترحة في كونهما دالتين لمكونات السلسلة الزمنية للحوادث المختلطين، بغية اختبار جودة توفيق النموذج الأمثل من بين النماذج الإحصائية المقترضة، كذلك اقتراح مؤشر تقدير الخطأ المعياري لمعدل التغيرات الموسمية والدورية بهدف تقدير مدى تذبذب معدل التغير الموسمي العام، والتغير الدوري العام من خلال بناء فترة الثقة للمعدلين المذكورين.

تم عرض خوارزمية طريقة التقدير المقترحة بدءاً بخطوة احتساب معدلات التغير (الموسمية، والدورية) وأنهاءً بتقدير مدى تذبذب معدل التغير الموسمي العام والتغير الدوري العام.

تم تحليل البيانات الخاصة بالتقديرات الإحصائية السنوية لحوادث المرور المسجلة والمتمثلة بحوادث الـ (الاصطدام، الانقلاب، الدهس، وأخرى)، والمنشورة من قبل وزارة التخطيط للسنوات (٢٠١٤-٢٠٠٢). وقد تتالت عملية بناء نموذج التنبؤ لخط الاتجاه العام في الجانب التطبيقي لبيانات السلسلة الزمنية لمجموع تلك الحوادث البحث عن النموذج الأكثر موامة لمعدلات التغير (الموسمية، والدورية).

تم بيان أهمية الصيغتين المقترحتين لتقدير مؤشر الخطأ المعياري لمعدل التغيرات الموسمية والدورية بهدف تقدير مدى تذبذب معدل التغير الموسمي العام، والتغير الدوري العام من خلال بناء فترة الثقة للمعدلين المذكورين بعد التأكيد من صحة افتراض التوزيع الطبيعي لكل منها، كذلك السلوك المتماثل لمعدلات التغير الموسمية ومعدلات التغير الدوري من خلال ترشيح النموذج المتعدد الحدود التكعيبي ذي الارتداد الزمني من الرتبة الأولى.

الكلمات المفتاحية: التغيرات الموسمية، التقليبات الدورية ، نماذج السلسلة الزمنية المختلطة ، الحوادث المرورية.

Abstract:

This research aimed to time analysis concerning variations of (Seasonal, and Cyclical) according to the suggested procedure which considered that each variation are accounted a function of mixed model, in order to test an optimal of modeled fitness among statistical assumed models, as well as suggested formulas to estimates standard error for seasonal and cyclical variation rates to obtains an estimation range limits of seasonal variation's grand mean, and cyclical variation throughout creating a confidence interval for that rates.

Algorithm of the suggested estimation method are presented, starting from step of accounted variation rates (Seasonal, and cyclical) components, and ending with the final step of estimation range limits of grand mean of (Seasonal, and cyclical) variation.

Data analyzed, and are expressed from annuls statistical reports of traffic accidents (Clash, Overturn, Crush, and others) which are registered and published by Ministry of Planning for the time periods (2002-2014), and whipped the process of building a forecasting model of general long term trend at the application side for the time series of the total of that accidents throughout searching for more fitted of variation rates (Seasonal, and Cyclical).

Represents significant of the suggested formulas of estimating standard error of seasonal, and cyclical variations for obtaining range limits of seasonal variation's grand mean, and cyclical variation's grand mean, throughout building a confidence interval for that rates, and that should be applicable after proved the normal distribution assumption for each one. As well as the similarity behavior of seasonal, and cyclical variation's rates throughout cube polynomial model of order one lagged time.

Key words: Seasonal Variations, Cyclical Fluctuations, Mixed Time Series Models, Traffic Accidents.

١. المقدمة: (Introduction)

السلسلة الزمنية هي سلسلة من المشاهدات المتتحققة زمنياً، أمثال السلسلة الزمنية المتتحققة شهرياً وسنويًا، وبعض الأحيان أسبوعياً أو بالساعة الواحدة مثل دراسة حركة المرور، أو كل سنتين، أو كل عشر سنوات (عقدى)... الخ. وتحليل السلسلة الزمنية يتوقف على الطرائق التي تهدف إلى نجاح عمليات التنبؤ من خلالها. ويمكن تجزئة السلسلة الزمنية إلى أربعة مركبات، كل واحدة منها تعكس وجهاً محدداً في حركة قيم السلسلة الزمنية، هذه المركبات هي خط الاتجاه العام (T_t)، الذي يصف الحركة على مدى النهايتين، والتغيرات الموسمية (S_t)، الذي يصف التغيرات الموسمية، والنقلبات الدورية (C_t)، التي تتمثل فيها الدورات المتعاقبة غير الموسمية، والتغير غير المنتظم (I_t)، الممثل للمصادر الأخرى غير العشوائية التي قد تصاحب بيانات السلسلة الزمنية. من جانب آخر، فإن تحليل السلسلة الزمنية يمكن في إحداث الصور الرياضية لتلك العناصر في تقدير المكونات الأربع بشكل منفصل. وعموماً فإن هناك ثلاثة نماذج مميزة لتحليل السلسلة الزمنية هي : (Yadolah,2008; Jerry,2007)

$$Y_t = T_t + C_t + S_t + I_t \quad \text{أولاً: التجمعية (Additive)}$$

$$Y_t = T_t * C_t * S_t * I_t \quad \text{ثانياً: النسبية (Multiplicative)}$$

$$Y_t = S_t + (T_t * C_t * I_t) \quad \text{ثالثاً: المختلطة (Mixed)} \\ \text{or} \\ Y_t = C_t + (T_t * S_t * I_t)$$

وبرغم ندرة استخدام الأنماذج المختلط، لأسباب قد تتعلق بندرة تحقق السلسلة الزمنية التي تتبعها عادةً، فإن تحليل المركبة الموسمية والمركبة الدورية تبقى من بين مركبات السلسلة الزمنية الأخرى من خلال تضمينها لمصادر التغيرات أو النقلبات هي الأساس في تكوين جوهر العملية، وفي ضوء ذلك تم افتراض الأنماذجين الآتيين:

$$S_t = Y_t - (T_t * C_t * I_t) \quad \text{النماذج المختلط الأول : (Seasonal Mixed)}$$

$$C_t = Y_t - (T_t * S_t * I_t) \quad \text{النماذج المختلط الثاني : (Cyclical Mixed)}$$

حيث يشير النماذج الأول إلى سلسلة معدلات التغير الموسمية، والثاني إلى سلسلة معدلات التغير الدورية.

ومن أجل خلق إضافة نوعية في مجال التوسيع في إعادة نمذجة الأنماذجين المختلطين الأنفي الذكر، جاءت فكرة البحث في افتراض الأنماذج الخطي إضافةً إلى عدة أنماذج غير خطية قابلة للتحول إلى الشكل الخطي وهي (أنماذج اللوغاريتمي، أنماذج المعكوس، أنماذج متعدد الحدود التربيعي، أنماذج متعدد الحدود التكعيبي، الأنماذج المركب، أنماذج القوى، أنماذج شكل الحرف - S، أنماذج النمو، الأنماذج الأسية، وأنماذج المنطقي)(SPSS Package, "Version 10.0")، بهدف تحليل خط الاتجاه العام لكل منها بغية انتقاء الأنماذج الأمثل للتنبؤ بمعدلات التغير الموسمية ومعدلات التغير الدورية، وقد تحقق ذلك لأول مرة (بحسب اطلاعنا).

هذا، وقد تم توثيق خوارزمية تطبيق طريقة التقدير المقترحة لبناء الأنماذج التنبؤية لمعدلات التغير الموسمية ومعدلات التغير الدوري للسلسلة الزمنية مع تطبيق عملي أختص ببيانات السلسلة الزمنية المتمثلة بأنواع الحوادث المرورية التجميعية المسجلة في السنوات للمرة (٢٠٠٢-٢٠١٤) والمتمثلة بـ(الاصطدام، الانقلاب، الدهس، وحوادث أخرى غير مبنية)، والمصنفة شهرياً وسنويًا Central Bureau of Statistics، 2002-2014)، كذلك اقتراح صيغة لتقدير الخطأ المعياري لمعدلات التغير الموسمية والخطأ المعياري لمعدلات التغير الدوري، وتقدير فترة نقاء لمعدل التغير الموسمي العام Grand *Cycling Variation*) (Seasonal Variation) ولمعدل التغير الدوري العام (Grand Cycling Variation)، وقد تحقق ذلك لأول مرة (بحسب إطلاعنا).

٢. خوارزمية طريقة التقدير المقترحة:

بهدف تحديد الخطوات المتتابعة لخوارزمية تنفيذ طريقة التقدير المقترحة للتوصيل إلى بناء الأنماذج التنبؤية لمعدلات التغير الموسمية والسنوية للسلسلة الزمنية، وذلك بأتبع الخطوات الآتية:

أولاً: تطبيق مقياس معدلات التغير الموسمية لكل سنة من سنوات السلسلة الزمنية بحسب الأشهر وللمجموع الكلي للحوادث المسجلة شهرياً وذلك بتنفيذ الصيغة الآتية:

$$\text{معدل التغير الموسمي للحوادث في الشهر } (i) = \frac{[\text{مجموع أعداد الحوادث في الشهر } (i) \text{ في السنة} \\ ١٢X] / \text{المجموع العام للحوادث}]}{}$$

حيث أن المجموع العام للحوادث يمثل مجموع عدد الحوادث المسجلة في السنة الواحدة، كذلك ما يتعلق بالمجموع الكلي لتلك الحوادث عموماً.

وفي ضوء الصيغة أعلاه تم اقتراح تقدير معدل التغير السنوي بالصيغة الآتية:

$$\text{معدل التغير السنوي للحوادث في السنة } (i) = \frac{[\text{مجموع أعداد الحوادث في السنة } (i) \times \text{عدد سنوات} \\ \text{السلسلة}] / \text{المجموع العام للحوادث}]}{}$$

حيث أن المجموع العام للحوادث يمثل مجموع عدد الحوادث المسجلة في سنوات السلسلة الزمنية عموماً.

ثانياً: تقدير معدل التغير الموسمي لكل سنة للحوادث المسجلة على مدى الشهر الواحد للسلسلة الزمنية وذلك بتنفيذ الصيغة السابقة أيضاً.

ثالثاً: فحص جودة توفيق التوزيع الطبيعي بموجب إحصاء اختبار (Kolmogorov-Smirnov) لمعدلات التغير الموسمية والسنوية المحتسبة بالخطوات السابقة للتأكد من صحة تطبيق الأساليب الإحصائية في الخطوات الآتية والتي تفترض التوزيع الطبيعي لتلك المعدلات(Huber, 1973).

رابعاً: تقدير الأوساط الحسابية لمعدلات التغير الموسمية على مستوى كل شهر لبيانات السلسلة الزمنية (ولكل سنة) وتقدير الانحراف المعياري المشترك (Pooled Std.)، كذلك تقدير الانحراف المعياري لمعدلات التغير السنوية للسلسلة الزمنية.

خامساً: تقدير الأوساط الحسابية لمعدلات التغير الموسمية على مستوى كل شهر لبيانات السلسلة الزمنية (ولكل سنة).

سادساً: أحتساب الخطأ المعياري للمقياس: (Standard Error)، حيث يوضح مدى اقتراب درجة معدل التغير الموسمي من الدرجة الحقيقة، وهي الدرجة التي يفترض أن تسجل بعد زوال جميع الأخطاء العشوائية. واستخراج الخطأ المعياري تم تطبيق الصيغة المقترحة الآتية:

$$SE = SD_{\text{Pooled}} * \sqrt{1 - LSR}$$

حيث أن:

SE : يمثل الخطأ المعياري.

SD_{Pooled} : يمثل الانحراف المعياري المشترك للانحرافات المعيارية لأشهر السنوات كافة.
 LSR : تمثل معدل عدد الأشهر التي سجلت انخفاضاً لمعدلات التغير الموسمية مساوياً أو يقل عن العدد الواحد الصحيح الموجب.

سابعاً: تقدير حدي مدى تذبذب معدل التغير الموسمي العام بموجب بناء فترة النقة بتحديد معامل الاعتمادية ($t_{n-1; 1-\frac{\alpha}{2}}$) المحدد بعدد درجات الحرية ($n - 1$) من جدول توزيع t ، حيث (n) تمثل عدد أشهر السنة (١٢) مضروباً بـ عدد سنوات السلسلة الزمنية،

$$GM \pm t_{(n-1; 1-\frac{\alpha}{2})} * SE \quad \text{حيث أن:}$$

GM : تمثل المتوسط العام (Grand Mean) للتغيرات الموسمية السلسلة الزمنية.
 ثامناً: تجرى عملية اختبار جودة توفيق النموذج الأمثل لتقدير معلمات خط الاتجاه العام لمعدلات التغير الموسمية المحاسبة بالخطوة السابقة وذلك بأفتراض عدة أنماذج هي (الخطي، اللوغاريتمي، المعكوس، متعدد الحدود التكعبي، متعدد الحدود التكعبي، الأنماذج المركبة، الأنماذج القوية، الأنماذج شكل الحرف-S، الأنماذج النمو، الأنماذج الأسي)، حيث يتم انتقاء النموذج الأكثر مواهمة وذلك بموجب القيمة الأقل تحققاً لمستوى دلالة إحصاء اختبار تحليل التباين للانحدار الذاتي، بهدف تقدير معلماته ومن ثم إجراء عملية التنبؤ بأعداد الإصابات في السنوات القادمة، والجدول رقم ١ يبين النماذج المقترضة موضوع فحص المواجهة.

جدول ١ : النماذج المقترضة لدراسة أثر جودة التوفيق في اختيار الأنماذج الأمثل لتحليل البيانات الأولية المرتبة زمنياً

| النماذج المقترضة | النماذج المقترضة | الدالة |
|--|------------------|----------------------------|
| Model whose equation is $Y = b_0 + (b_1 * t)$. The series values are modeled as a linear function of time. | | الخطي Linear |
| Model whose equation is $Y = b_0 + (b_1 * \ln(t))$. | | اللوغاريتمي Logarithmic |
| Model whose equation is $Y = b_0 + (b_1 / t)$. | | المعكوس Inverse |
| Model whose equation is $Y = b_0 + (b_1 * t) + (b_2 * t^{**2})$. The quadratic model can be used to model a series which "takes off" or a series which dampens. | | التربعي Quadratic |
| Model defined by the equation $Y = b_0 + (b_1 * t) + (b_2 * t^{**2}) + (b_3 * t^{**3})$. | | التكعبي Cubic |
| Model whose equation is $Y = b_0 * (t^{**b_1})$ or $\ln(Y) = \ln(b_0) + (b_1 * \ln(t))$. | | المركب Compound |
| Model whose equation is $Y = b_0 * (b_1^{**t})$ or $\ln(Y) = \ln(b_0) + (\ln(b_1) * t)$. | | القوى Power |
| Model whose equation is $Y = e^{**(b_0 + (b_1/t))}$ or $\ln(Y) = b_0 + (b_1/t)$. | | شكل الحرف S |
| Model whose equation is $Y = 1 / (1/u + (b_0 * (b_1^{**t})))$ or $\ln(1/y - 1/u) = \ln(b_0) + (\ln(b_1) * t)$ where u is the upper boundary value. After selecting Logistic, specify the upper boundary value to use in the regression equation. The value must be a positive number, greater than the largest dependent variable value. | | النمو Growth |
| Model whose equation is $Y = e^{**(b_0 + (b_1 * t))}$ or $\ln(Y) = b_0 + (b_1 * t)$. | | الأسي Exponential |

تاسعاً: يعاد اختبار جودة توفيق النموذج الأمثل لتقدير معدلات منحنى خط الاتجاه العام لمعدلات التغير الموسمية المحتسبة عند كل سنة من سنوات السلسلة الزمنية وعلى وفق النماذج المفترضة بالخطوة السابقة أيضاً، بهدف التعرف على أنماط سلوك أعداد الإصابات المتتحققة وبحسب أصنافها في أشهر السنة الواحدة.

عاشرأً: يعاد تطبيق الفقرات السابقة للخوارزمية المقترحة على معدلات التغير السنوية أيضاً مع الأخذ بالحساب آلياً تقدير قيمة الخطأ المعياري وذلك بتطبيق الصيغة المقترحة الآتية:

$$SE = SD_{\text{Sequence}} * \sqrt{1 - LYR}$$

حيث أن:

SE : يمثل الخطأ المعياري.

SD_{Sequence} : يمثل الانحراف المعياري لمعدلات التغير السنوية المقدر عن بيانات السلسلة الزمنية.
 LYR : تمثل معدل عدد السنوات التي سجلت انخفاضاً لمعدلات التغير السنوي مساوياً أو يقل عن العدد الواحد الصحيح الموجب.

ويتم تقدير حدي مدى تذبذب معدل التغير السنوي العام بموجب بناء فترة الثقة بتحديد معامل الاعتمادية $(t_{n-1; 1-\frac{\alpha}{2}})$ المحدد بعدد درجات الحرية $(1 - n)$ من جدول توزيع t ، حيث (n) تمثل عدد سنوات السلسلة الزمنية،

حيث أن:

$$GM \pm t_{(n-1; 1-\frac{\alpha}{2})} * SE$$

GM : يمثل المتوسط العام (Grand Mean) للتغيرات السنوية للسلسلة الزمنية، والذي يكون مساوياً للعدد الواحد الصحيح.

٣. تطبيق الخوارزمية المقترحة:

١-٣ التنبؤ بمعدلات التغير الموسمية (Bureau of Statistics, 2002-2014):

تضمن الجدول رقم ٢ تقديرات معدلات التغير الموسمي لكل سنة من سنوات السلسلة الزمنية بحسب الأشهر وعلى مستوى مجموع أنواع الإصابات المرورية المسجلة في سنوات السلسلة الزمنية للمدة (٢٠٠٢-٢٠١٤) والمتمثلة بحوادث (الاصطدام، الانقلاب، الدهس، وأخرى)، كذلك تقديرات معدلات التغير الموسمية عند أشهر السنة وعلى عموم تلك السنوات باحتساب المتوسط الحسابي العام (Grand Mean) بعد التأكد من صحة افتراض التوزيع الطبيعي لتلك المعدلات والتي أسفرت فيه نتائج اختبار Kolmogorov-Smirnov) لإختبار جودة توفيق التوزيع الطبيعي تحقق التوزيع المذكور ويعرضها الجدول المذكور، وتضمن الجدول أيضاً على نتائج احتساب الانحرافات المعيارية عند كل شهر على مدى سنوات السلسلة الزمنية كافة، ومن ثم تقدير قيمة التباين المشترك بهدف إمكانية احتساب قيمة الخطأ المعياري للمتوسط الكلي (Global Mean) للتغيرات الموسمية موضوع التحليل الإحصائي بموجب الخوارزمية المقترحة لتقدير فترة الثقة للمتوسط الكلي لمعدلات التغيرات الموسمية مستخدمين بذلك مستوى الثقة ٩٥٪، حيث كانت نتائج تقدير حدي الفترة هي عند معدل التغير الموسمية (0.878)، مقابل قيمة الخطأ المعياري المقدرة بـ (0.062354).

مجلة جامعة بابل / العلوم الهندسية / العدد (١) / المجلد (٢٠) : ٢٠١٧

من جانب آخر، فقد تضمن الجدول أيضاً تقدیرات معدلات التغیر الموسمیة لکل سنة من سنوات السلسلة الزمنیة بحسب الأشهر وعلى مستوى مجموع أنواع الإصابات المروریة المسجلة في سنوات السلسلة الزمنیة للفترة (٢٠٠٢-٢٠١٤)، مع بيان درجة اعتمادیة النموذج الموفق وبحسب قيمة مستوى الدلالة في اختبار تحلیل التباين للانحدار الذاتي، كذلك ما يتعلّق بالأوساط الحسابیة العامة لنتائج للتغیرات الموسمیة موضوع التقدیر.

مجلة جامعة بابل / العلوم الهندسية / العدد (١) / المجلد (٢٠) : ٧

الجدول (٢) : معدلات التغير الموسمية لحوادث السيارات بكل أصنافها (الاصطدام، الانقلاب، الدهس، وأخرى) خلال السنوات (٢٠٠٢ - ٢٠١٤)

| Std Dev. (SD) | Grand Mean (GM) | مستوى الدلالة للفحص الجودة | Years | | | | | | | | | | | | | Month |
|-------------------------|-----------------------|---|------------|-------|-------|-------|-------|-------|-------|-------|-------|-------|-------|-------|-------|----------------|
| | | | 2014 | 2013 | 2012 | 2011 | 2010 | 2009 | 2008 | 2007 | 2006 | 2005 | 2004 | 2003 | 2002 | |
| 0.103 | 0.948 | 0.585 | 0.860 | 0.967 | 0.963 | 0.872 | 0.781 | 0.800 | 0.855 | 1.072 | 0.956 | 1.048 | 1.047 | 1.050 | 1.052 | January |
| 0.081 | 0.888 | 0.337 | 1.009 | 0.917 | 0.976 | 0.819 | 1.003 | 0.995 | 0.870 | 0.808 | 0.871 | 0.819 | 0.819 | 0.819 | 0.820 | February |
| 0.093 | 0.943 | 0.404 | 1.021 | 1.017 | 0.968 | 0.876 | 0.853 | 0.900 | 0.833 | 0.739 | 0.977 | 1.016 | 1.017 | 1.016 | 1.019 | March |
| 0.091 | 0.931 | 0.449 | 1.071 | 0.960 | 0.938 | 1.012 | 0.806 | 0.857 | 0.742 | 0.965 | 0.850 | 0.976 | 0.976 | 0.976 | 0.978 | April |
| 0.105 | 0.978 | 0.221 | 0.979 | 0.954 | 0.947 | 0.978 | 0.975 | 0.892 | 0.953 | 0.831 | 1.296 | 0.976 | 0.976 | 0.976 | 0.979 | May |
| 0.084 | 0.981 | 0.800 | 0.968 | 1.007 | 1.114 | 1.036 | 1.155 | 1.005 | 0.838 | 0.953 | 0.910 | 0.942 | 0.942 | 0.942 | 0.946 | June |
| 0.074 | 0.959 | 0.482 | 0.832 | 0.998 | 1.015 | 1.070 | 1.017 | 0.936 | 0.997 | 1.037 | 1.009 | 0.890 | 0.889 | 0.890 | 0.891 | July |
| 0.079 | 1.000 | 0.419 | 1.088 | 1.016 | 0.955 | 0.874 | 0.982 | 1.119 | 1.138 | 0.949 | 1.062 | 0.955 | 0.955 | 0.955 | 0.958 | August |
| 0.096 | 1.086 | 0.321 | 0.976 | 1.098 | 1.132 | 1.169 | 1.188 | 1.042 | 0.984 | 1.018 | 1.321 | 1.046 | 1.046 | 1.046 | 1.049 | September |
| 0.099 | 1.117 | 0.732 | 1.063 | 1.156 | 1.114 | 1.160 | 1.055 | 1.240 | 1.337 | 1.160 | 0.928 | 1.075 | 1.075 | 1.074 | 1.078 | October |
| 0.071 | 1.084 | 0.274 | 0.987 | 0.937 | 1.069 | 1.061 | 1.142 | 1.019 | 1.180 | 1.129 | 1.045 | 1.129 | 1.130 | 1.129 | 1.132 | November |
| 0.161 | 1.088 | 0.595 | 1.145 | 0.974 | 0.810 | 1.074 | 1.043 | 1.195 | 1.274 | 1.340 | 0.775 | 1.128 | 1.128 | 1.129 | 1.131 | December |
| Pooled Std. 0.108 | CUB | Normal Dist. Fn. (True) ^(*) | S Shape | CUB | CUB | POW | POW | GRO | LIN | CUB | CUB | QUA | QUA | QUA | QUA | النموذج الموفق |
| | 0.001 | | 0.134 | 0.184 | 0.102 | 0.005 | 0.007 | 0.002 | 0.000 | 0.009 | 0.335 | 0.023 | 0.023 | 0.023 | 0.024 | مستوى المعنوية |
| | HS | | NS | NS | NS | HS | HS | HS | HS | NS | S | S | S | S | S | الدلالة |

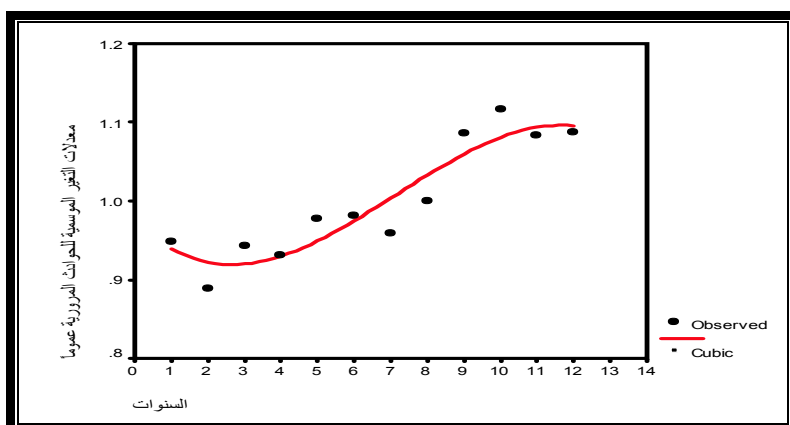
(*) Normal Distribution Function is true when goodness-of-fit test reported P>0.05 (levels of significant).

وتحقيقاً لما نقدم، فإن الجدول رقم (٣) يتضمن على تقديرات تحليل الأنماذج المتعدد الحدود التكعيبي واختبارات المعنوية لحوادث المرور المختلفة في السنوات (٢٠١٣ - ٢٠١٧).

الجدول (٣): تقديرات تحليل الأنماذج الخطى المتعدد الحدود التكعيبي الذاتي واختبارات المعنوية لحوادث المرور المختلفة في السنوات (٢٠١٤ - ٢٠٠٢)

| المتغير المعتمد (Y)، حيث أن: $Y_i = \beta_0 + \beta_1 x_i + \beta_2 x_i^2 + \beta_3 x_i^3 + e_i$ المتغير المعتمد: يمثل معدلات التغير الموسمي لحوادث الاصدام (طريقة التحليل : الأنماذج متعدد الحدود التكعيبي) | | | | | |
|--|-------------|----------------|----------------|------------|----------------------------------|
| قائمة التقديرات المرافقة لتحليل الانحدار الخطى واختبار جودة توفيق الأنماذج | | | | | |
| معامل الارتباط (r) | 0.87254 | | | | |
| معامل التحديد (R^2) | 0.76132 | | | | ((مستوى مواجهة النموذج)) |
| معامل التحديد المصحح | 0.68176 | | | | معنوي وبمستوى دلالة بأقل من 0.01 |
| إحصاءة (F) لتحليل التباين للانحدار | 9.56922 | = دلالة (F) | | | 0.0037 |
| تقديرات معاملات معادلة الاستجابة متعددة الحدود التكعيبية | | | | | |
| المتغيرات التفسيرية مع الحد الثابت | معلمة الأثر | الخطأ المعياري | الأثر المعياري | ت المحسوبة | دلالة - ت |
| الحد الثابت | 4659.6 | 1080.1 | - | 4.314 | 0.0019 |
| Time | -1609.4 | 643.3 | -5.00 | -2.502 | 0.0338 |
| $(Time)^2$ | 271.0 | 104.8 | 12.1 | 2.586 | 0.0294 |
| $(Time)^3$ | -11.4 | 4.9 | -6.60 | -2.304 | 0.0467 |

يتضح عند مراجعة نتائج معامل الارتباط الذاتي (Autocorrelation) ومعامل التحديد (Determination) من جهة وإلى تحليل تقديرات معاملات الانحدار الذاتي وفقاً لـ (أنماذج متعدد الحدود التكعيبي) من جهة أخرى تحقق مستوى "عالي من العلاقة ما بين القيمة الحالية لأعداد حوادث المرور المختلفة بالارتداد الزمني لها وعلى وفق الأنماذج المذكور، حيث بلغت قيمة مستوى الدلالة المحسوبة بموجب اختبار جودة توفيق الأنماذج في تحليل التباين للانحدار الذاتي (0.0037) وهي أصغر من مستوى الدلالة المعتمدة (0.05)، وسجلت نتائج معامل الارتباط الذاتي (0.87254)، كذلك فقد سجلت نتائج تقدير معامل التحديد أرتفاع نسبة تفسير التغيرات الطارئة على متغير الدالة (أعداد حوادث المرور) في ضوء الارتداد الزمني بالتغييرات الشهرية، محققتا قيمة قدرها (76.13%)، الأمر الذي يعكس أهمية تلك الدالة وذلك بتقديرات معلماتها في إجراء عملية التنبؤ موضوع البحث. من جانب آخر، فقد أشارت نتائج اختبار حدود الدالة لمتعدد الحدود التكعيبي معنوية الأثر الناجم عن كافة حدودها الارتدادية وبدلالة أقل من مستوى 0.05، فضلاً عن دلالة معنوية الحد الثابت الذي يعكس أثر العوامل غير المبحوثة في الأنماذج. والشكل البياني رقم (١) يوضح منحنى خط الاتجاه العام وفق الأنماذج التنبؤية المذكور.



الشكل (١): تقدير منحنى خط الاتجاه العام لمعدلات التغير الموسمية وفق الأنموذج التنبؤي لمتعدد الحدود التكعيبى لحوادث المرور للفترة (٢٠٠٢ - ٢٠١٤)

(٢-٣) التنبؤ بمعدلات التغير السنوية:

تضمن الجدول رقم (٤) تقديرات معدلات التغير السنوية بموجب الصيغة المقترحة وكل سنة من سنوات السلسلة الزمنية وعلى مستوى مجموع الحوادث المرورية المسجلة في سنوات السلسلة الزمنية لمدة (٢٠٠٢ - ٢٠١٤) والمتمثلة بحوادث الـ (الاصطدام، الانقلاب، والدهس)، بعد التأكيد من صحة افتراض التوزيع الطبيعي لتلك المعدلات والتي أسفرت نتائج اختبار (Kolmogorov-Smirnov) لإختبار جودة توفيق التوزيع الطبيعي تتحقق التوزيع المذكور، و تضمن الجدول على نتائج أحتساب الانحراف المعياري على مدى سنوات السلسلة الزمنية كافة، بهدف تقدير قيمة الخطأ المعياري للمتوسط العام للتغيرات السنوية موضوع التحليل الإحصائي والبالغ (1.00000) بموجب الخوارزمية المقترحة لنقدير فترة الثقة للمتوسط العام لمعدلات التغيرات السنوية مستخدمين بذلك مستوى الثقة ٩٥٪، حيث كانت نتائج تقدير حدي الفترة عند القيمين (0.811854، 0.811854)، مقابل قيمة الخطأ المعياري المقدرة بـ (0.0863533).

الجدول (٤) : معدلات التغير السنوية لحوادث المرور المسجلة بكل أصنافها (الاصطدام، الانقلاب، الدهس، وأخرى) في السنوات (٢٠٠٢ - ٢٠١٤) في السنوات

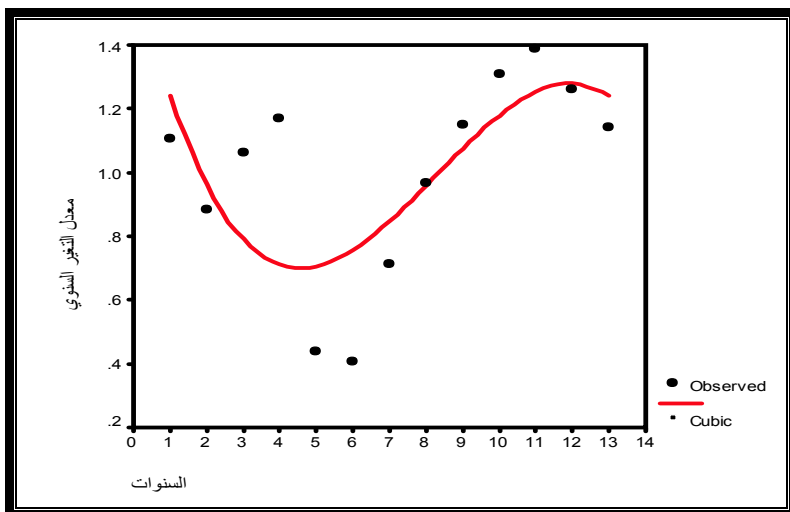
| السنوات | الاصطدام | الانقلاب | الدهس | آخرى | المجموع | معدلات التغير السنوية | مستوى الدلالة لفحص الجودة |
|---------------------------|----------|----------|-------|------|---------|-----------------------|---------------------------|
| 0.707 (P>0.05) | 2871 | 470 | 5132 | 62 | 8535 | 1.106992847 | 0.707 (P>0.05) |
| | 2298 | 375 | 4105 | 48 | 6826 | 0.885334876 | |
| | 2757 | 450 | 4914 | 70 | 8191 | 1.062375912 | |
| | 3033 | 495 | 5417 | 65 | 9010 | 1.168600533 | |
| | 1370 | 352 | 1595 | 72 | 3389 | 0.439554629 | |
| | 1348 | 381 | 1335 | 71 | 3135 | 0.406610729 | |
| | 2247 | 552 | 2503 | 200 | 5502 | 0.713611557 | |
| | 3177 | 826 | 3360 | 89 | 7452 | 0.966527322 | |
| | 4102 | 1011 | 3661 | 87 | 8861 | 1.149275174 | |
| | 4771 | 1161 | 4025 | 125 | 10082 | 1.307639353 | |
| | 5131 | 1320 | 4174 | 84 | 10709 | 1.388961499 | |
| | 4568 | 1288 | 3793 | 76 | 9725 | 1.261336313 | |
| | 4288 | 993 | 3442 | 91 | 8814 | 1.143179256 | |
| المجموع العام | | | | | | | Normal Dist. Fn. True |
| Std Dev. (0.311351120472) | | | | | | | 100231 |
| 1140 | | | | | | | 47456 |
| 9674 | | | | | | | 41961 |

وتحقيقاً لما تقدم، فإن الجدول رقم (٥) تضمن على تقديرات تحليل الأنماذج المتعدد الحدود التكعيبي واختبارات المعنوية لحوادث المرور المختلفة في السنوات (٢٠١٣ - ٢٠٠٧).

الجدول (٥): تقديرات تحليل الأنماذج الخطي المتعدد الحدود التكعيبي الذاتي واختبارات المعنوية لحوادث المرور المختلفة في السنوات (٢٠١٤ - ٢٠٠٢)

| المتغير المعتمد (Y)، حيث أن: $Y_i = \beta_0 + \beta_1 x_i + \beta_2 x_i^2 + \beta_3 x_i^3 + e_i$ المتغير المعتمد: يمثل معدلات التغير السنوي لحوادث المرور طريقة التحليل : الأنماذج المتعدد الحدود التكعيبي | | | | | |
|--|-------------|--------------|----------------|------------|---------------------------------------|
| قائمة التقديرات المرافقية لتحليل الانحدار الخطي واختبار جودة توفيق الأنماذج | | | | | |
| معامل الارتباط (r) | 0.٧١٥٣٦ | | | | |
| معامل التحديد (R^2) | 0.51174 | | | | ((مستوى مواجهة النموذج)) |
| معامل التحديد المصحح | 0.34899 | | | | غير معنوي وبمستوى دلالة بأكبر من 0.05 |
| إحصاءة (F) لتحليل التباين للانحدار | 3.14431 | = دلالة (F) | | | 0.0795 |
| تقديرات معاملات معادلة الاستجابة متعددة الحدود التكعيبية | | | | | |
| المتغيرات التفسيرية مع الحد الثابت | معلمة الأثر | خطأ المعياري | الأثر المعياري | ت المحسوبة | دلالة - ت |
| الحد الثابت | 1.644 | 0.383 | - | 4.288 | 0.002 |
| Time | -0.473 | 0.228 | -5.911 | -2.070 | 0.068 |
| $(Time)^2$ | 0.071 | 0.037 | 12.851 | 1.920 | 0.087 |
| $(Time)^3$ | -0.003 | 0.002 | -6.694 | -1.645 | 0.134 |

يتضح عند مراجعة نتائج معامل الارتباط الذاتي (Autocorrelation) ومعامل التحديد (Determination) من جهة وإلى تحليل تقديرات معاملات الانحدار الذاتي وفقاً لـ (أنماذج متعدد الحدود التكعيبي) من جهة أخرى تحقق مستوى "جيداً" من العلاقة ما بين القيمة الحالية لأعداد حوادث المرور المختلفة بالارتداد الزمني لها وعلى وفق الأنماذج المذكور، حيث بلغت قيمة مستوى الدلالة المحسوبة بموجب اختبار جودة توفيق الأنماذج في تحليل التباين للانحدار الذاتي (0.0795) وهي أكبر بقليل من مستوى الدلالة المعتمدة (0.05)، الأمر الذي يعكس أهمية الأنماذج في إجراء عملية التنبؤ بأعداد الحوادث المرورية بشكل عام في السنوات القادمة رغم عدم وصول مستوى الدلالة فيه وبشكل طفيف للمستوى المعتمد (Robert,2006)، كما وسجلت نتائج معامل الارتباط الذاتي (0.71536) وتقدير معامل التحديد نسبة عالية في تفسير التغيرات الطارئة على متغير الدالة (أعداد الحوادث المرورية) في ضوء أثر الارتداد الزمني بالتغييرات السنوية، محققتاً قيمة قدرها (51.2%)، الأمر الذي يعكس أهمية تلك الدالة وذلك بتقديرات معلماتها في إجراء عمليات التنبؤ موضوع البحث. من جانب آخر، فقد أشارت نتائج اختبار حدود الدالة لمتعدد الحدود التكعيبي معنوية الأثر الناجم عن كافة حدودها الارتدادية سنوياً وبدلالة تقترب بدرجة عالية من مستوى 0.05، بالإضافة إلى دلالة معنوية الحد الثابت الذي يعكس أثر العوامل غير المبحوثة في الأنماذج. والشكل البياني رقم (٢) يوضح منحنى خط الاتجاه العام وفقاً لأنماذج التنبؤ المذكور.



الشكل (٢): تقدير منحنى خط الاتجاه العام لمعدلات التغير السنوي وعلى وفق الأنماذج التنبؤية لمتعدد الحدود التكعبي لحوادث المرور للمدة (٢٠٠٢ - ٢٠١٤)

وتلخيصاً لما تقدم، يتضح شكل الأنماذج الذي يتحقق بموجبه تفسير سلوك معدلات التغير الموسمية ومعدلات التغير السنوية للحوادث المرورية والمتمثل بالأنماذج المتعدد الحدود التكعبي بأثر الارتداد الزمني الشهري والارتداد الزمني السنوي على التوالي.

٤. الاستنتاجات: (Conclusions)

من نتائج الجانبين النظري والتطبيقي يمكن التوصل إلى الاستنتاجات الآتية:

١-أن التحليل الزمني لمؤشرات التغيرات (الموسمية، والدورية) وفقاً لإجراءات المفترحة في كونهما دالتين لمكونات السلسلة الزمنية للنموذجين المختلطين، إضافةً إلى الإجراءات المتعلقة باختبار جودة توفيق الأنماذج الأمثل من بين النماذج الإحصائية المفترضة وقد حققت عملية بناء نموذج التنبؤ لخط الاتجاه العام في الجانب التطبيقي لبيانات السلسلة الزمنية لحوادث المرور المختلفة في المدة (٢٠٠٢ - ٢٠١٤)، حيث السلوك المتماثل للمؤشرين المذكورين وذلك بترشيح الأنماذج المتعدد الحدود التكعبي ذي الارتداد الزمني من الرتبة الأولى.

٢-أهمية الصيغتين المفترحتين لتقدير مؤشرات الخطأ المعياري لمعدلات التغيرات الموسمية والدورية بهدف تقدير مدى تذبذب معياري التغير الموسمي العام، والتغير الدوري العام وذلك ببناء فترة الثقة للمعدلين المذكورين بعد التأكد من صحة افتراض التوزيع الطبيعي.

٥. التوصيات (Recommendations)

ومن نتائج الجانبين النظري والتطبيقي يمكن التوصل إلى التوصيات الآتية:

١. يمكن التوسيع في افتراض نماذج إحصائية أخرى في عملية اختبار جودة توفيق الأنماذج الأمثل لدالتي التغيرات (الموسمية، والدورية) بهدف الحصول على أفضل تقدير لمعلمات نموذج التنبؤ موضوع البحث.

٢. الأخذ بالحسبان مسألة تحطم فرضية التوزيع الطبيعي لمعدلات التغير الموسمية والدورية في تقدير قيمة الخطأ المعياري لن تلك المعدلات، كذلك بما يتعلق ببناء فترة الثقة لتقدير مدى تذبذب معياري التغير الموسمي العام، والتغير الدوري العام.

المصادر:

- Yadolah Dodge, 2008, "The Concise Encyclopedia of Statistics", ISBN: 978-0-387-32833-1, Page 536-537, Springer.
- Dr. Jerry L. Hintze , 2007, Published by NCSS, "Help To NCSS", Kaysville, Utah. 84037, Copyright ©.
- SPSS Package, "Version 10.0" for data analyze and obtaining the Fitted Models, as well as graphical presentations.
- Central Bureau of Statistics (NBS) released an annual reports, "Statistics of traffic accidents", recorded for the years (2002-2014), Iraq.
- Huber, P. J. , 1973., "Robust regression; asymptotics conjectures and Monte-Carlo"; Ann. Statist.1, P799-821
- Robert J. Nordness , 2006, "Epidemiology and Biostatistics", Secret, MOSBY ELSEVIER, P.152, USA.